

拡散音場による騒音の評価

高橋 一男* 森 正美*

加藤 光吉* 山根 雅雄*

Assessment of Noise in a Reverbration Room

Kazuo Takahashi, Masami Mori
Koukichi Kato and Masao Yamane

1. まえがき

騒音源の音のエネルギーを測定することは、騒音防止対策上極めて重要なことである。音源の性質により、音のエネルギーは種々の指向性をもって空間に放出されるので、一般にその全エネルギーを短時間に測定することはむずかしい。

音源の出す音響エネルギー（音響パワーレベルで表示）を拡散音場法で測定すれば、大変能率的である。そのためには、残響室の諸性能が明らかにされなければならない。拡散音場として電気研究所に新設された残響室について、残響時間及び音圧レベル分布の統計処理法により拡散性のチェックを行なった。

2. 拡散音場法による音響パワーレベル

拡散音場法による音響パワーレベルを求めるには、残響室内の音の拡散がよいことが必要である。拡散がよければ音響パワーレベルは

$$PWL = \langle SPL \rangle - 10 \log_{10} \frac{4}{R} \quad (\text{dB})$$

から求められる。

ここに PWL : 音響パワーレベル

(dB) (ref 10^{-12} watt)

$\langle SPL \rangle$: 平均音圧レベル (dB)

R : $= 0.161V / T_{60}$

V : 室容積 (m^3)

T_{60} : 残響時間 (秒)

したがって

$$\begin{aligned} PWL &= \langle SPL \rangle - 10 \log \frac{4T_{60}}{0.161V} \\ &= \langle SPL \rangle - 10 \log T_{60} + \log V - 14 \end{aligned}$$

であるから平均音圧レベル $\langle SPL \rangle$ と残響時間 T_{60} を測定すれば、PWL が求められる。

オクターブあるいは $\frac{1}{3}$ オクターブの雑音源を用いた場合の $\langle SPL \rangle$ は音場がよい拡散状態であれば、場所による変動は少ないが、拡散性が悪ければ場所によって数dBの変動がある。

音源が純音であれば、場所による音圧レベルの変動範囲はさらに大きい。したがって平均音圧レベルは統計的手法により求めなければならない。

拡散音場であれば、单一周波数における音圧レベル分布はレーレ分布になるから、平均音圧レベルは多数の標本点の音圧レベルの平均値を取り、その値に2.5dBを加えればよい。

3. 拡散音場としての残響室

残響室は残響時間の長いことと共に、拡散性がよいことが必要である。このため反射率のよい壁材を用い、平行壁面や、縮退（固有振動モードの周波数間隔のばらつきが一様になること）を避けるため、室の寸法比を特殊な値にすることが必要である。

図1は電気研究所の残響室の概略図で、図2は外観の写真の一例である。寸法比は $\frac{1}{q} : 1 : q$ ($q^2 = 2^{\frac{1}{3}}$) の直方体を基礎と、不整形7面体とした。表1はこの残響室の概要である。

* 東京都電気研究所光音部

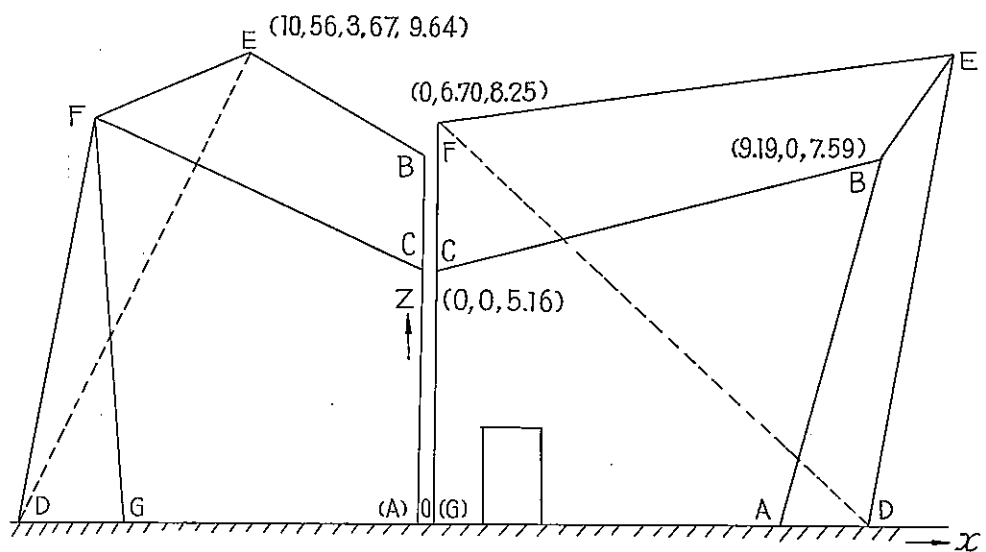
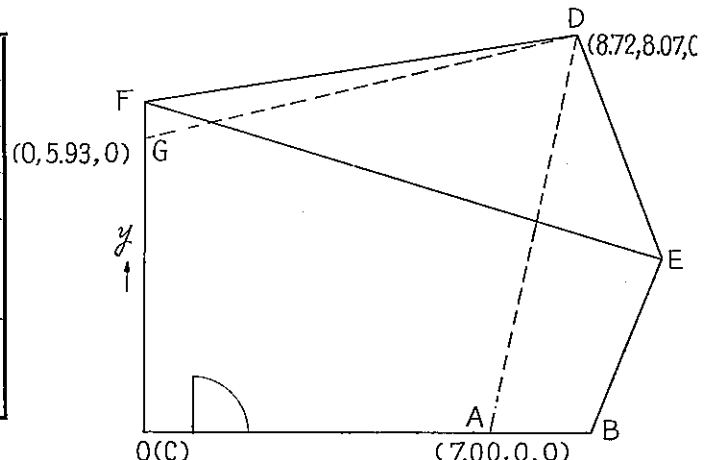


表1 残響室の概要

項目	摘要
容 積	約 $450m^3$
室内総面積	約 $350m^2$
底 面 積	約 $52m^2$
	厚さ30cm鉄筋コンクリート、内面：厚さ3cm蛇文石による人造石研ぎ出し
扉	210×130×34cm片開き、鉄枠つき鉄筋コンクリート、周囲：ゴムパッキング3段締めつけ



平面図

図1 残響室の形状

表2 スイープ速度、カウント速度

中 心 周 波 数 (Hz)	スイープ速度 (Hz/sec)	カウント速度 (sec)
125} 密閉箱	0.0037	1
250}	0.0082	1
500}	0.058	0.3
1000} トランペットユニット	0.11	0.3
2000}	0.20	0.3
4000}	0.51	0.3

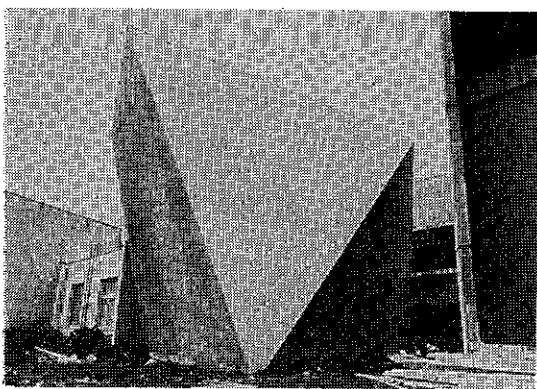


図2 残響室の外観

4. 残響室の主なる特性

4・1 残響時間

$\frac{1}{3}$ オクターブの雑音源を用い、BK製高速度レベルレコーダの記録から求めた結果が図3で、中心周波数1kHzで約15秒、160Hzで約38秒であった。

4・2 拡散特性

文献(1)の方法により、音圧レベル分布がレーレ分布になるか否かの判定から求めた。

〔1〕周波数を変えた場合の音圧レベル分布

周波数変化はオクターブ中心周波数の±5%の範囲で、残響時間の影響が現われないように極めてゆっくりスイープした。表2はそのときのスイープ速度、およびカウント速度である。

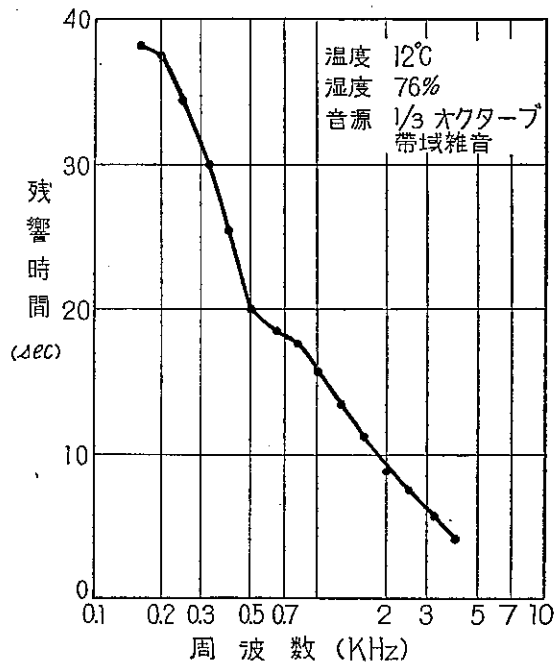


図3 残響室の残響時間

図4は1kHz付近での音圧レベル変動の一例である。

このような、音圧レベル変動を表2によるカウント速度でBK製レベル頻度計を駆動し、それをレーレ分布判定用確率紙に描いたものが図5である。

図6は音源、受音点を室の中央・コーナと種々組合せ

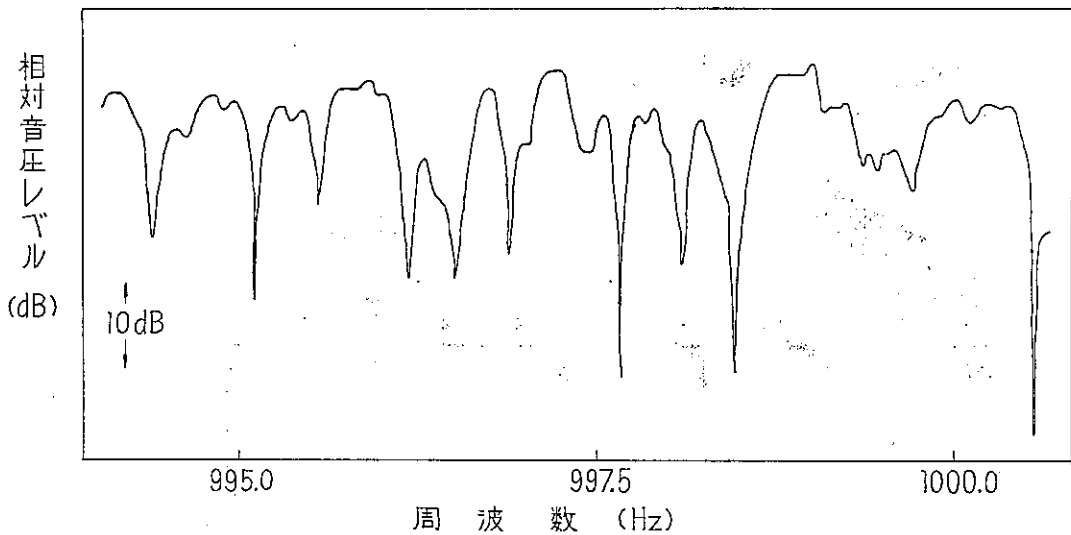


図4 音源受音点を固定し、周波数を変化した場合の音圧レベルの変化の一例

たときの周波数特性である。

○, ●印はそれぞれの平均値である。125~4000Hz のオクターブ間隔で行なったが、500Hz 以上ではレーレ分布をし、250Hz 以下ではレーレ分布しないことがわかる。

(ii) 場所を変えた場合の音圧レベル分布

マイクロホンの高さ床面上 1.5m, 速行速度 1.43cm/sec で周波数を固定して音圧レベル変動の一例である。周波数変化と同様に大きくレベル変動している。

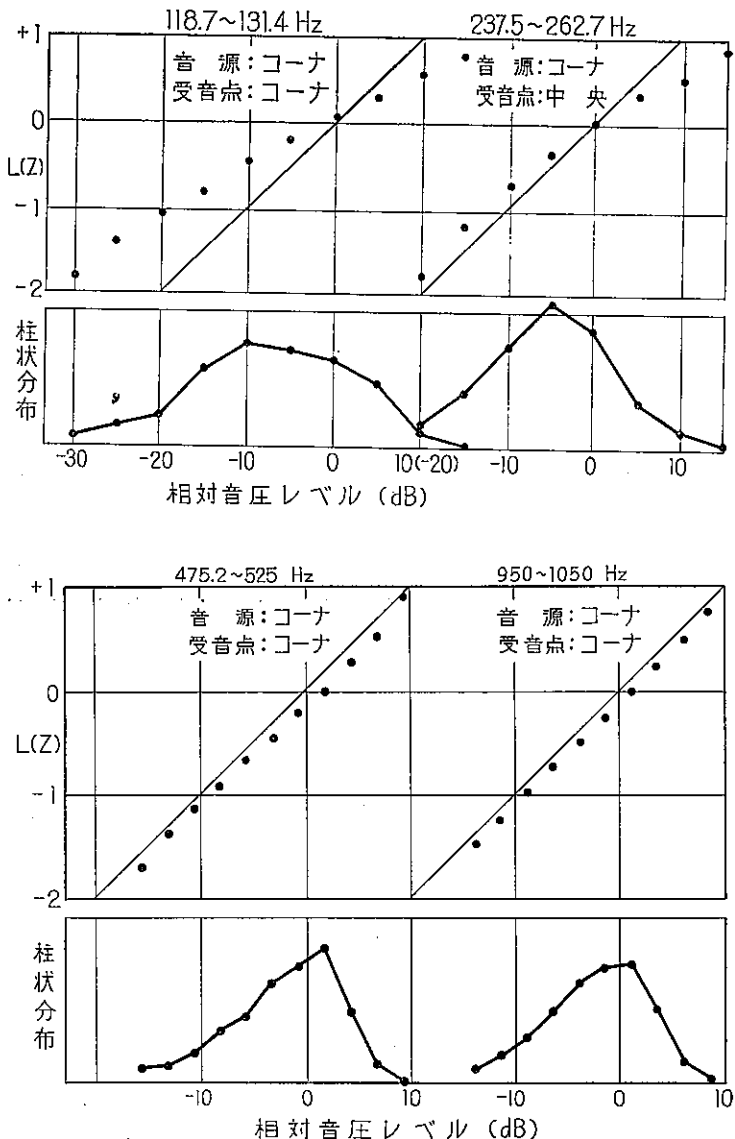
図 8 は各点の空間相互相關を考慮して、図 7 のような記録紙上から $\frac{\lambda}{2}$ ごとにサンプリングした標本点をレーレ分布表に整理したものである。標本点の少ない低い周波数ではレーレ分布の判別がつきにくい。

図 9 ○印はこの周波数特性で、(i)の場合と同様に、500Hz 以上はレーレ分布で 250Hz 以下ではレーレ分布からはずれている。

記録紙上から $\frac{\lambda}{2}$ ごとにサンプリングすることは繁雑なので、(i)の場合と同様にレベル頻度計から求めたものが図 10 である。この周波数特性が図 9 ●印である。

この場合もレーレ分布の成立つのは 500Hz 以上で、250Hz 以下では成立っていない。図 9 の○印と●印を比べてみると 500Hz 以上ではほぼ同じ値になるが、250Hz 以下では大分相異が出てくる。したがってレーレ分布の成立つ周波数ではレベル頻度計で求めても大きい誤りはないとも考えられる。

このことは、始めの標本点の位置が少しづつ異なる、一連の ($\frac{\lambda}{2}$ ごとの) 独立な標本点を求め、それぞれがレーレ分布をし、しかもそれぞれの分布の dB 的平均が等しければ、これらすべてを加え合せた(レベル頻度計を用いること) 分布もレーレ分布になると考えられる。これ



はまた標本点の数の大小によらないことは当然である。

表 3 は同じ周波数で場所を変え、数回の測定において、それぞれの分布の dB 的平均の不偏分散の平方根を求めたものである。

1000Hz 以上は 0.6dB 以下、500Hz 以下は 1.3dB 以上となる。したがって 1000Hz 以上はレベル頻度計を用いても大差ないが、500Hz 以下は一応考慮する必要がある。

(iii) バンドノイズによる音圧レベル

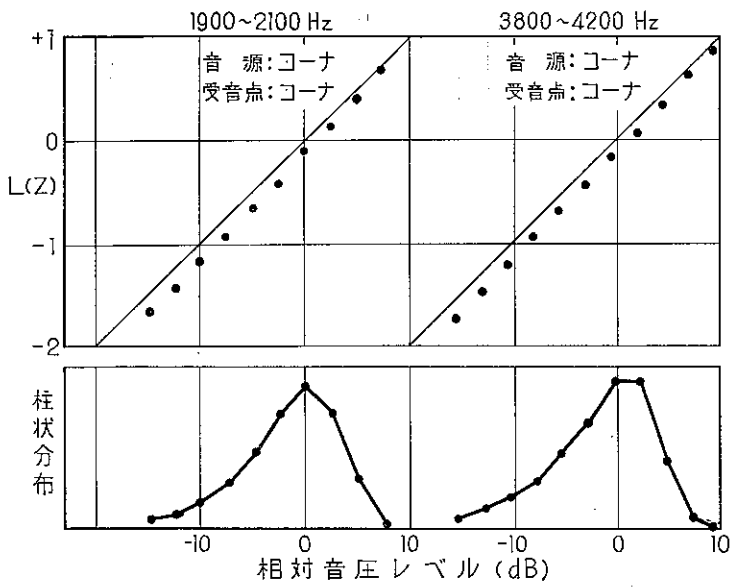


図5 周波数を変化した場合の柱状分布と (z)

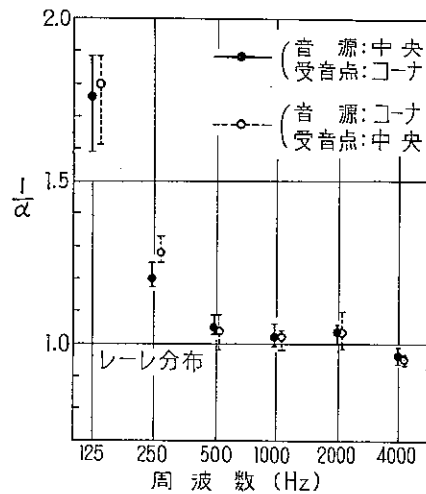


図6 周波数を変化した場合の $L(z)$ の傾斜

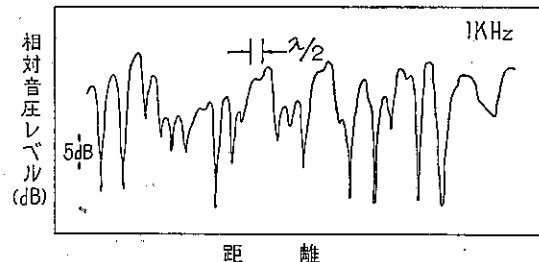


図7 純音で騒動し、受点音を移動した場合の音圧レベルの変化の一例

音源の近傍を除き、室内となるべくばらつきのある任意のA～Iの9ヶ所を選び、 $\frac{1}{3}$ オクターブバンドの雑音

を用いて平均音圧レベルを求めたのが図11である。125 Hzを除いていずれもほぼ±1 dBに入っている。

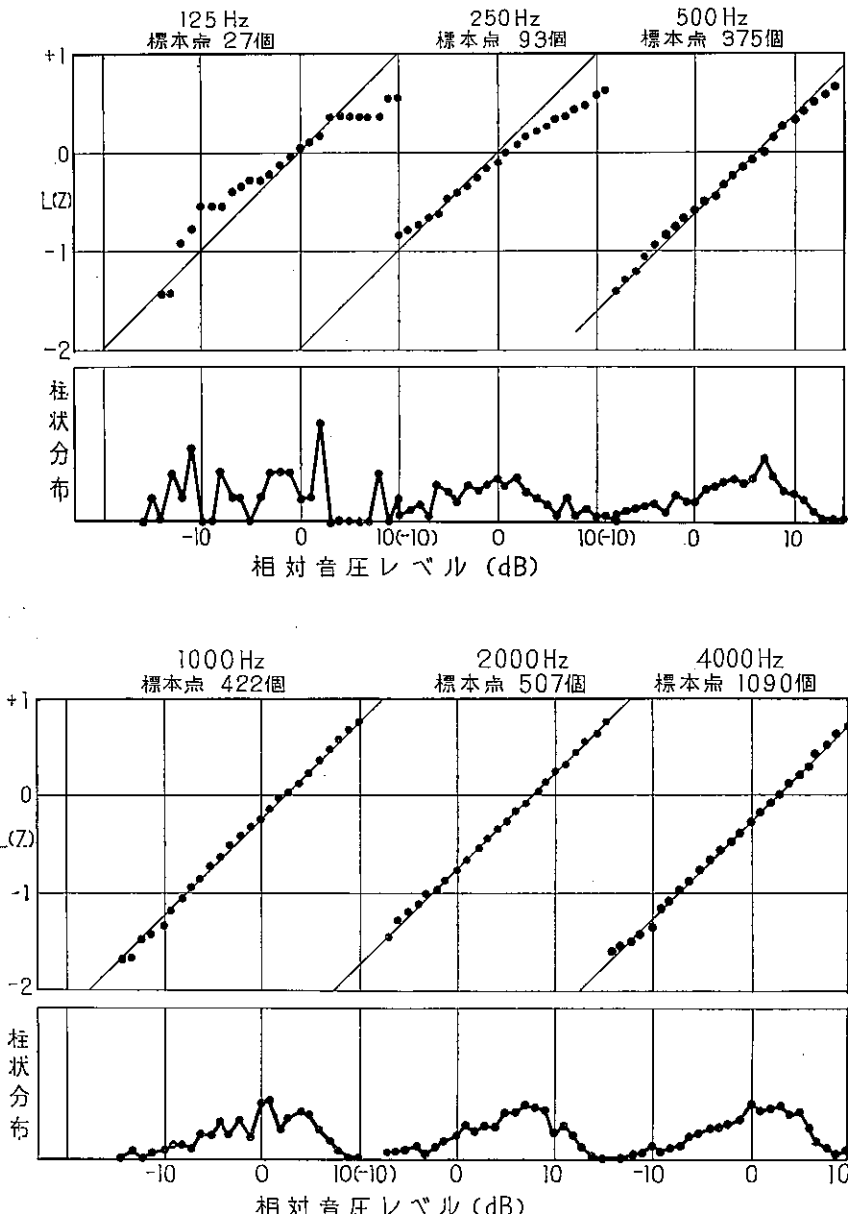


図8 場所を変化させたときの柱状分布と(Z)

表3 dB的平均の不偏分散の平方根

周波数(Hz)	125	250	500	1000	2000	4000
不偏分散の平方根	4.48	2.02	1.29	0.60	0.57	0.55

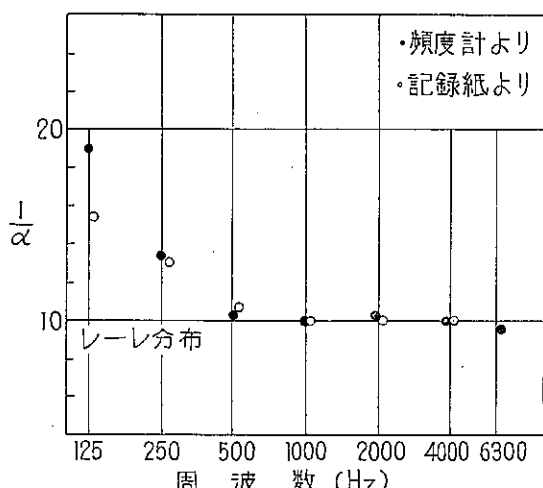


図9 純音で音源コーナ、受音点を変化した場合の $1/\alpha$

5. むすび

騒音を拡散音場により評価するためには、よい拡散音場が必要である。この拡散音場のチェック法には各種の方法が考えられているが、今回は主にレーレ分布による判定法によって行なった。

電気研究所新設の残響室では一応500Hz以上はレーレ分布を満足し、250Hz以下は満足しないことがわかった。

残響時間は160Hzで約38秒、1000Hzで約15秒あった。また1/3オクターブノイズによる室の音圧レベルの変動は中心周波数250Hz以上ではいずれの場所でもほぼ一定で125Hzでは3dB程度の差があることがわかった。以上の調査により、騒音パワーレベル測定可能の見通しを得た。

参考文献

- (1) 服部：拡散音場における音響機器の校正法に関する研究 電気試験所研究報告第669号(1976)
- (2) 文献(1) P27
- (3) 文献(1) P29

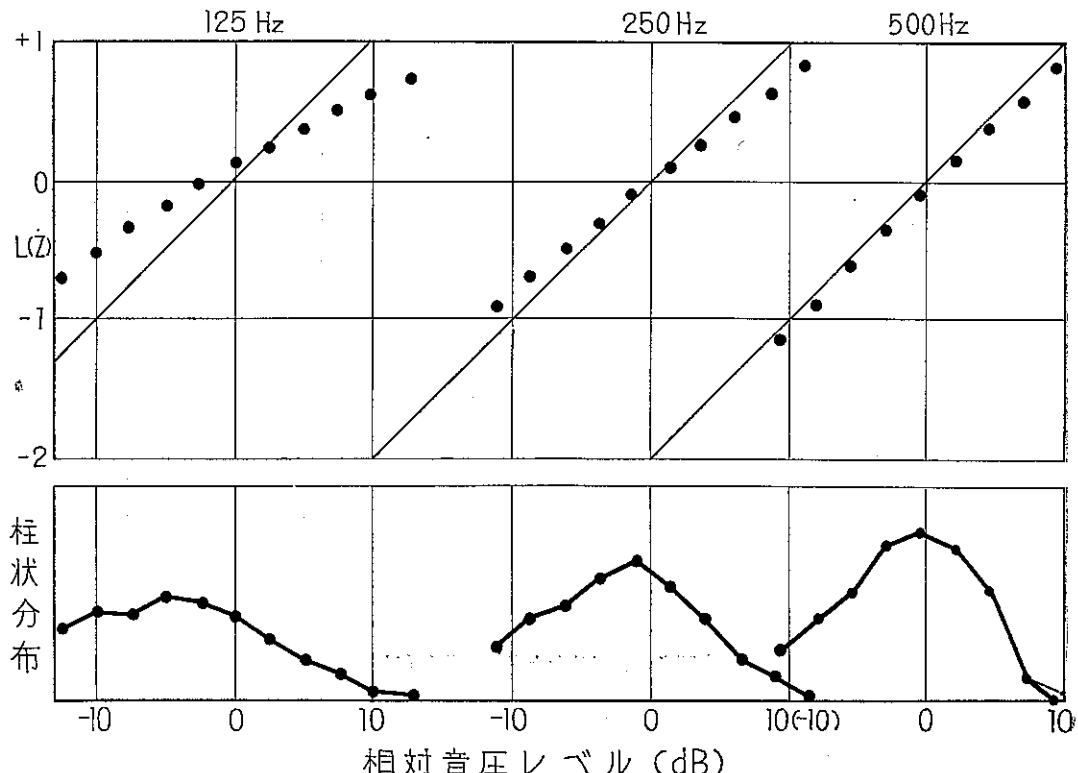


図10(1) 場所を変化させたときの柱状分布と $L(z)$ (レベル頻度計)

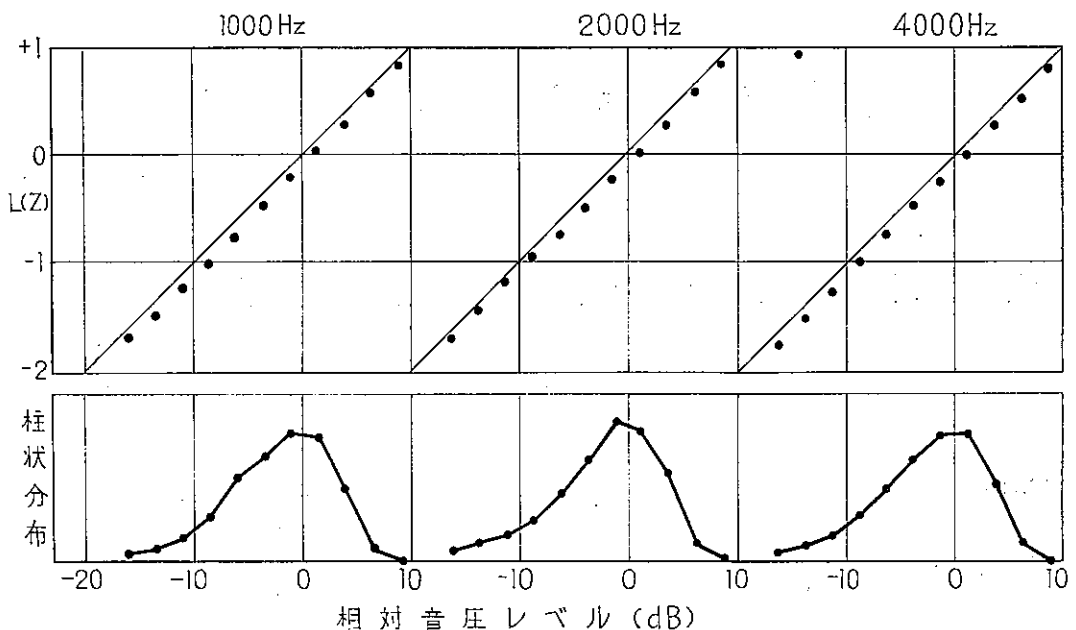


図10(2) 場所を変化させたときの柱状分布と $L(z)$ (レベル頻度計)

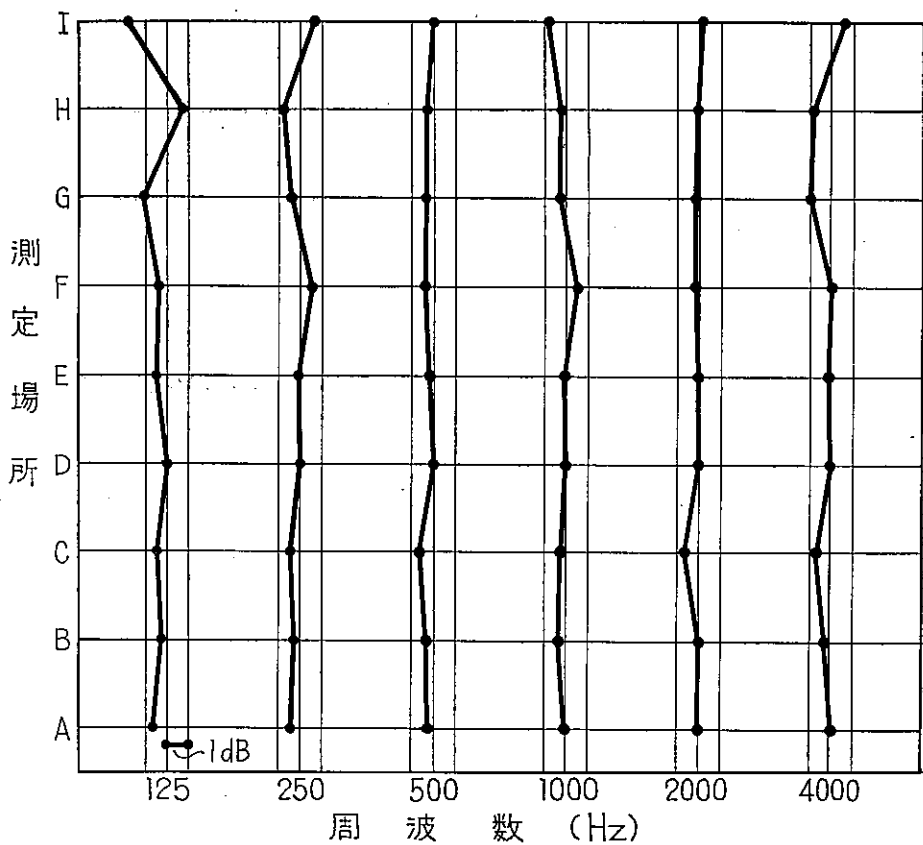


図11 1/3オクターブバンドノイズによる音圧レベル変化